

Рис. III.5.8. Поле деформации Центрального и Западного Тянь-Шаня как дивергенция векторного поля скоростей

Треугольниками обозначены использованные в расчете пункты GPS-измерений. Шкала характеризует интенсивность сжимающих деформаций в относительных единицах ( $n \cdot 10^{-9} \cdot \text{год}^{-1}$ )

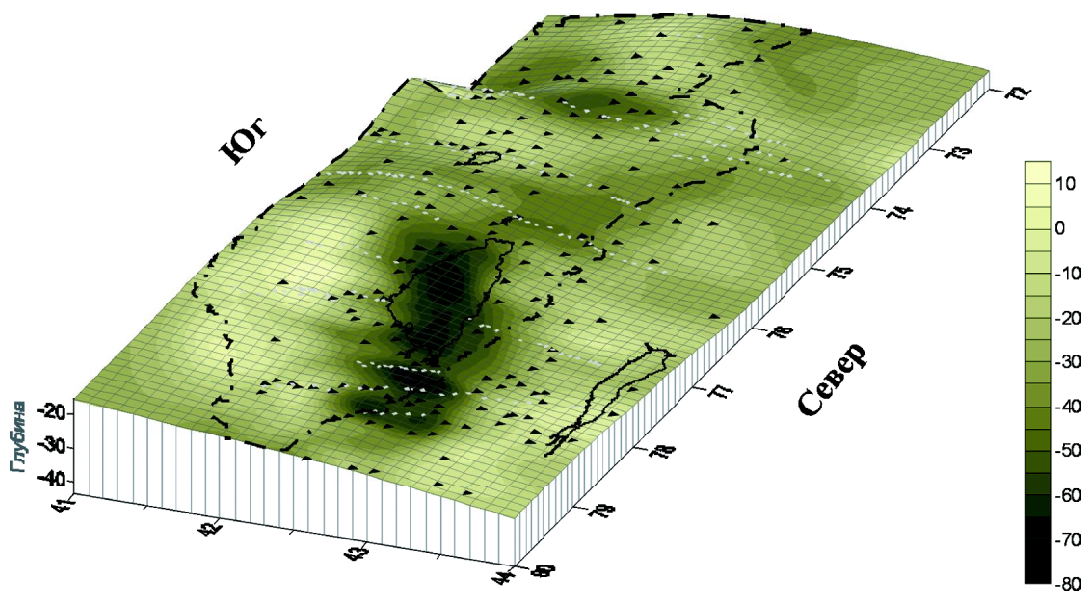


Рис. III.5.9. Трехмерное изображение кровли электропроводящего слоя с наложенным на него полем деформации D ( $n \cdot 10^{-9} \cdot \text{год}^{-1}$ )

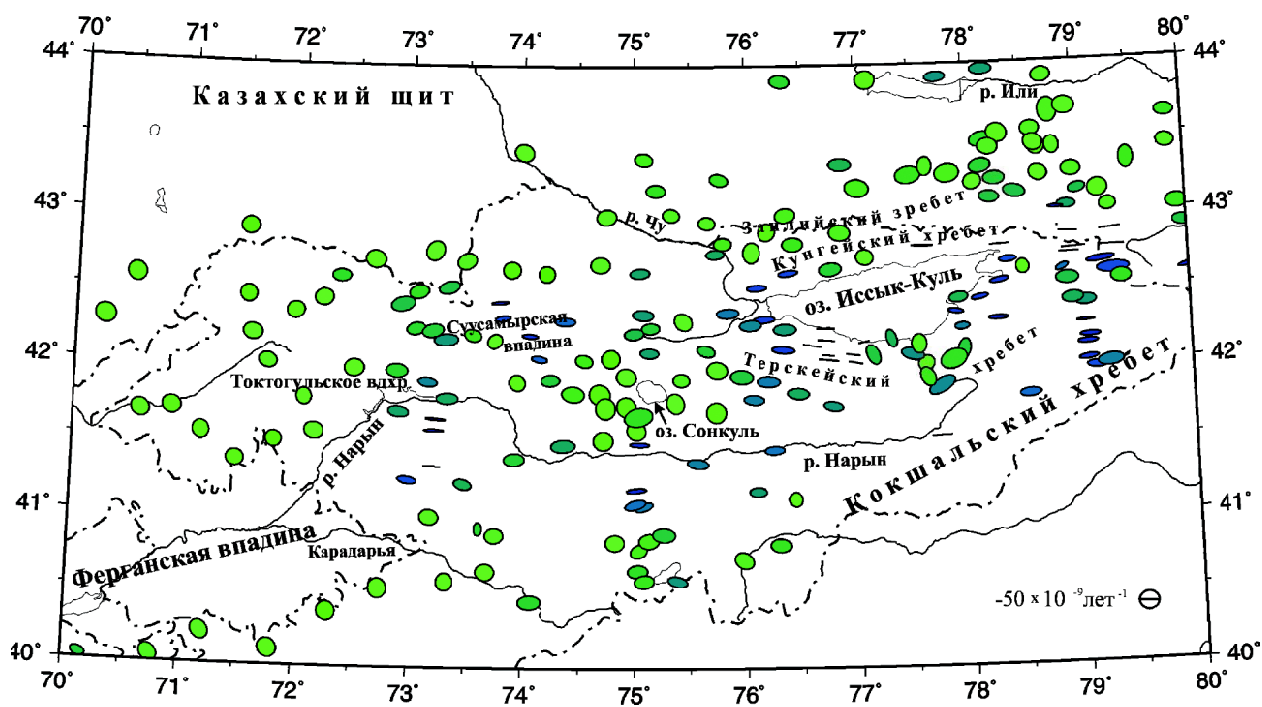


Рис. III.5.13. Карта эллипсов деформаций Центрального и Западного Тянь-Шаня

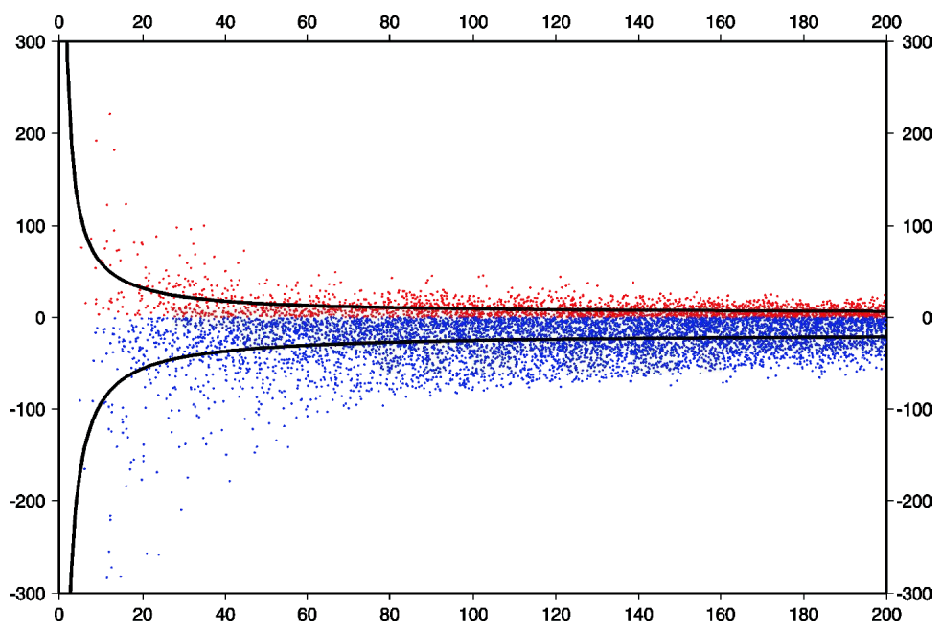


Рис. III.5.14. График изменения деформаций базисных линий  $D_p$  в зависимости от их длины  $L$

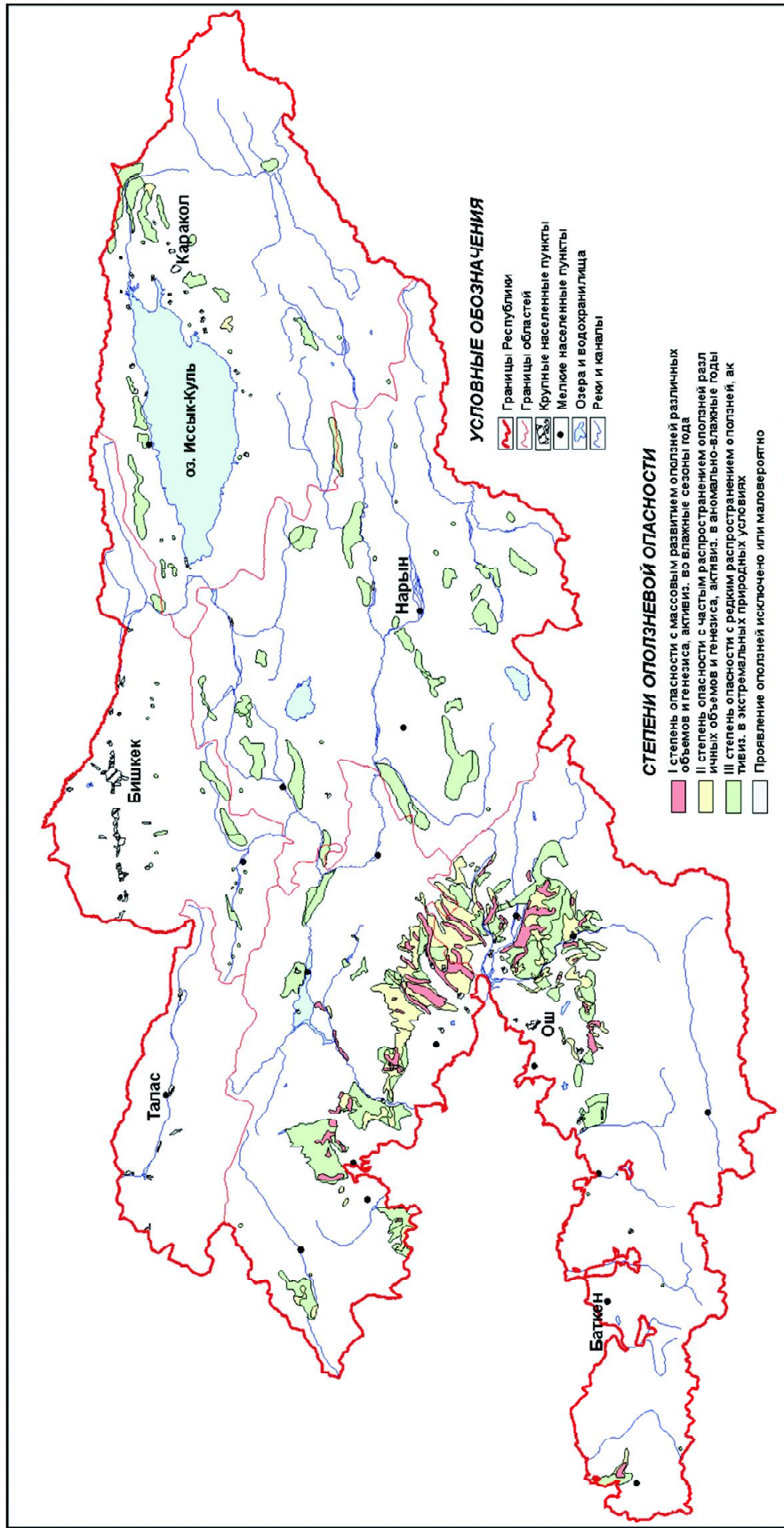
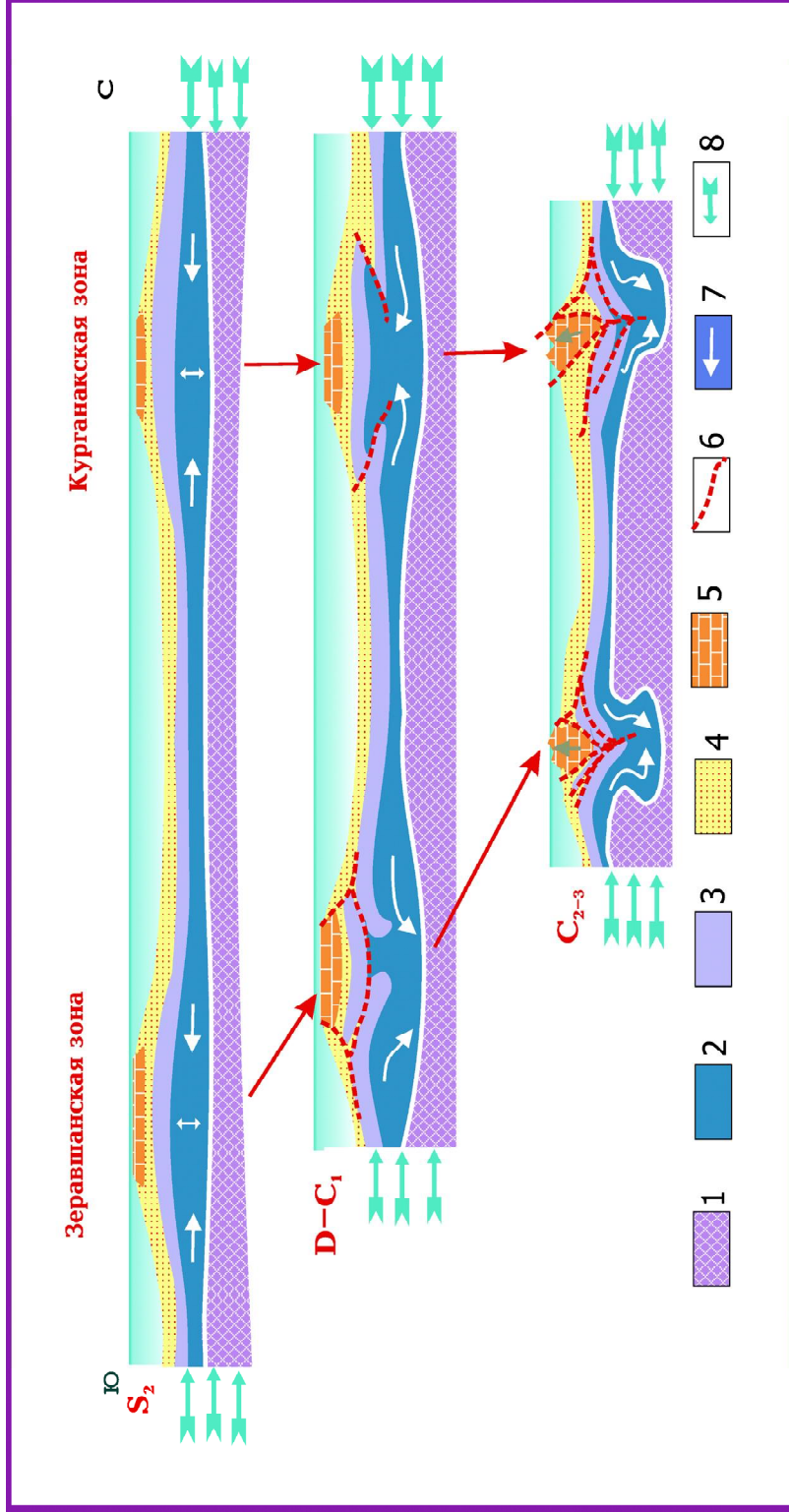
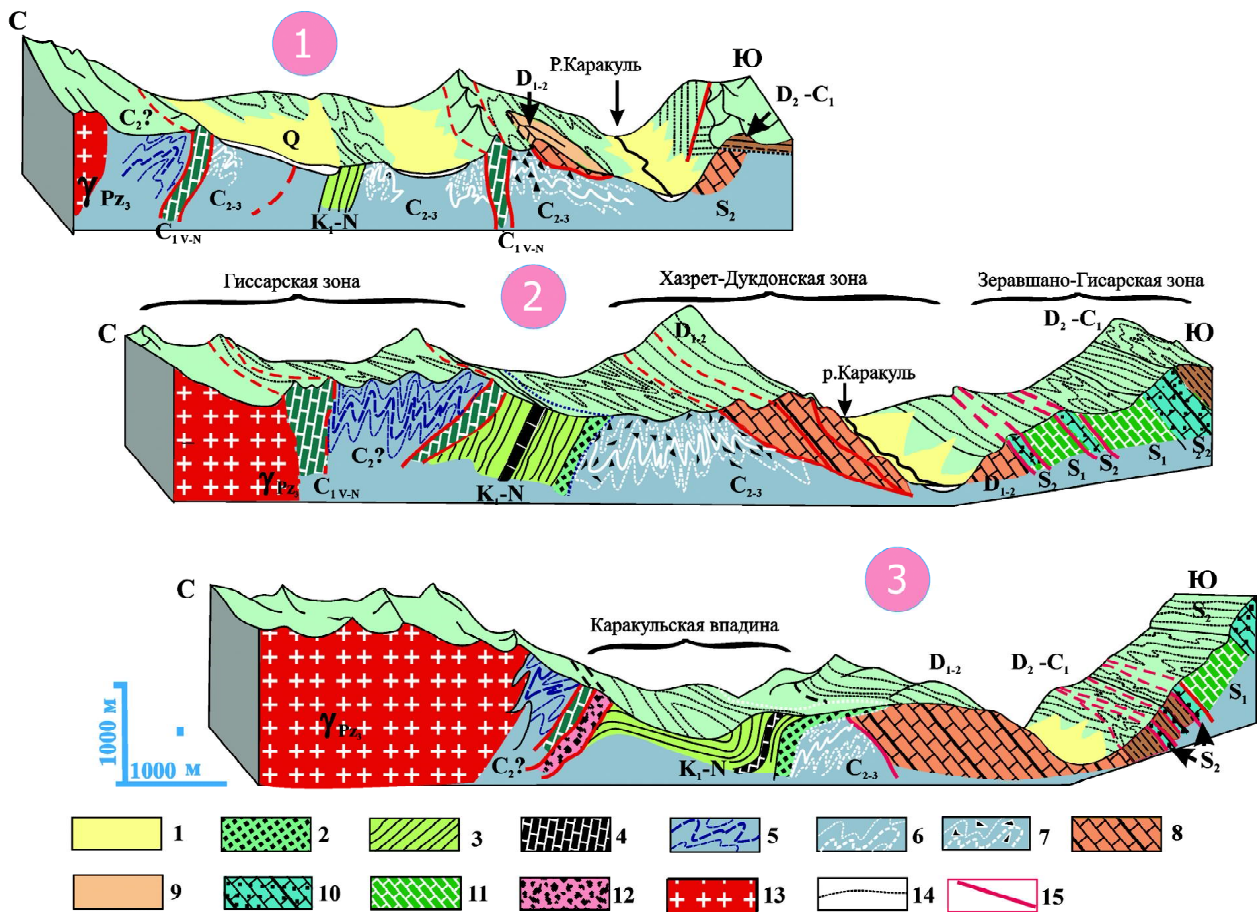


Рис. IV.6.1. Карта оползневой опасности Киргизстана

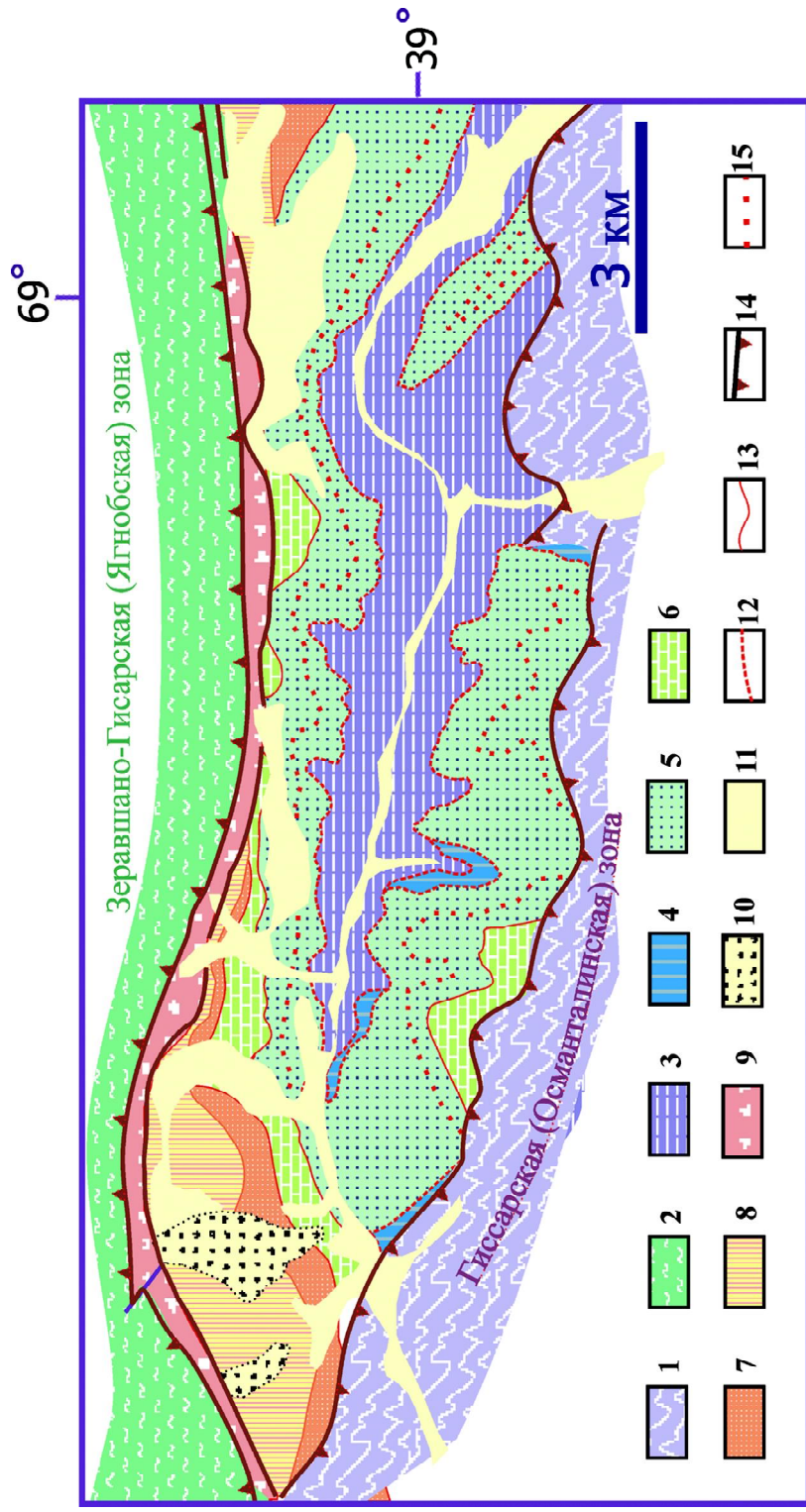


**Рис. V.2.2.** Геодинамическая эволюция Центрально-Таджикского сегмента Южного Тянь-Шаня в позднем силуре – карбоне. Показано морфоструктурное расчленение дна бассейна и формирование зон замковой субдукции и безофиолитовых коллизионных швов. 1 – мантия; 2 – серпентинизированные ультрабазиты; 3 – габбро-базальты; 4 – осадочные отложения внутрибассейновых карбонатных банок и платформ; 5 – осадочные отложения; 6 – платформы; 7 – направления тектонического течения и перемещения горных масс; 8 – напряжения общего сжатия в регионе



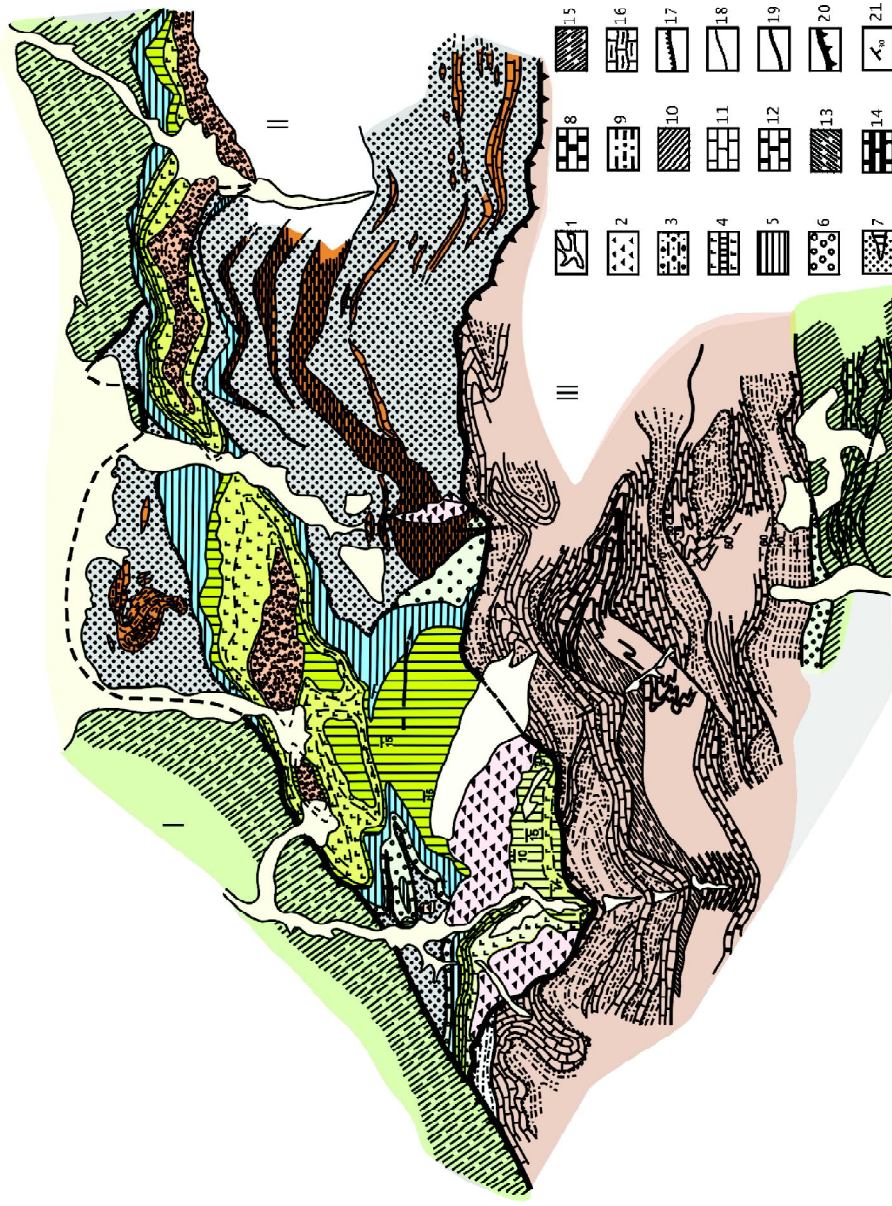
**Рис. V.2.3.** Тектоническая структура Каракульской впадины

1 – четвертичные отложения; 2-4 – отложения мела-неогена: 2 – конгломераты и грубые песчаники, 3 – глины, алевролиты, песчаники, гипсы, 4 – известняки; 5 – средний-верхний карбон (песчаники, глинистые сланцы); 6 – средний-верхний карбон (флиш); 7 – средний-верхний карбон (флиш, превращенный в “осадочный” меланж); 8 – нижний-средний девон (известняки); 9 – останец покрова ниже-среднедевонских известняков; 10 – верхний силур (известняки, доломиты); 11 – нижний силур (известняки, доломиты, сланцы); 12 – тектоническая брекчия; 13 – граниты Гиссарского батолита; 14 – структурные линии; 15 – разрывы. Приведены поперечные разрезы 1, 2, 3



**Рис. V.2.4.** Схематическая геологическая карта района Жетдынской впадины

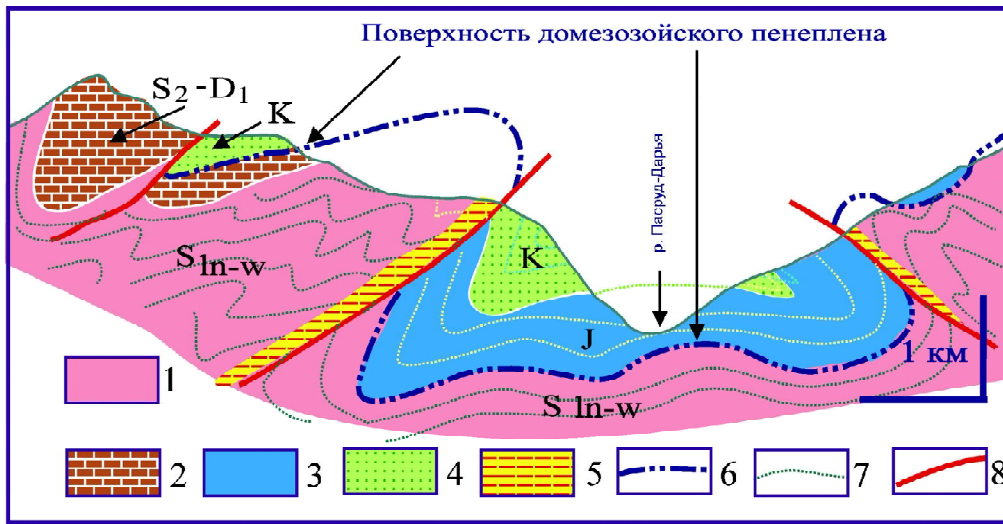
1 – Гиссарская (Османталинская) зона; 2 – Зеравшано-Гиссарская (Ягнобская) зона; 3 – складчато-метаморфическое палеозойское основание Каракуль-Жетдынской структуры; 4–8 – мезозойско-кайнозойские отложения Жетдынской впадины: 4 – юра, 5 – нижний мел, 6 – верхний мел, 7 – палеоцен–эоцен, 8 – олигоцен–миоцен; 9 – тектонические брекчии; 10 – шлейфы современных тектоно-гравитационных микститов карбонатного состава; 11 – четвертичные отложения; 12–15 – границы: 12 – стратиграфические трансгрессивные и маркирующие угловые несогласия, 13 – стратиграфические нормальные, 14 – надвиговые, структурно-формационные зон; 15 – внутриформационные маркирующие



**Рис. V.2.6.** Геологическая карта района Зеравшанской впадины (бассейны ручьев Риват, Вахан, Мадм)

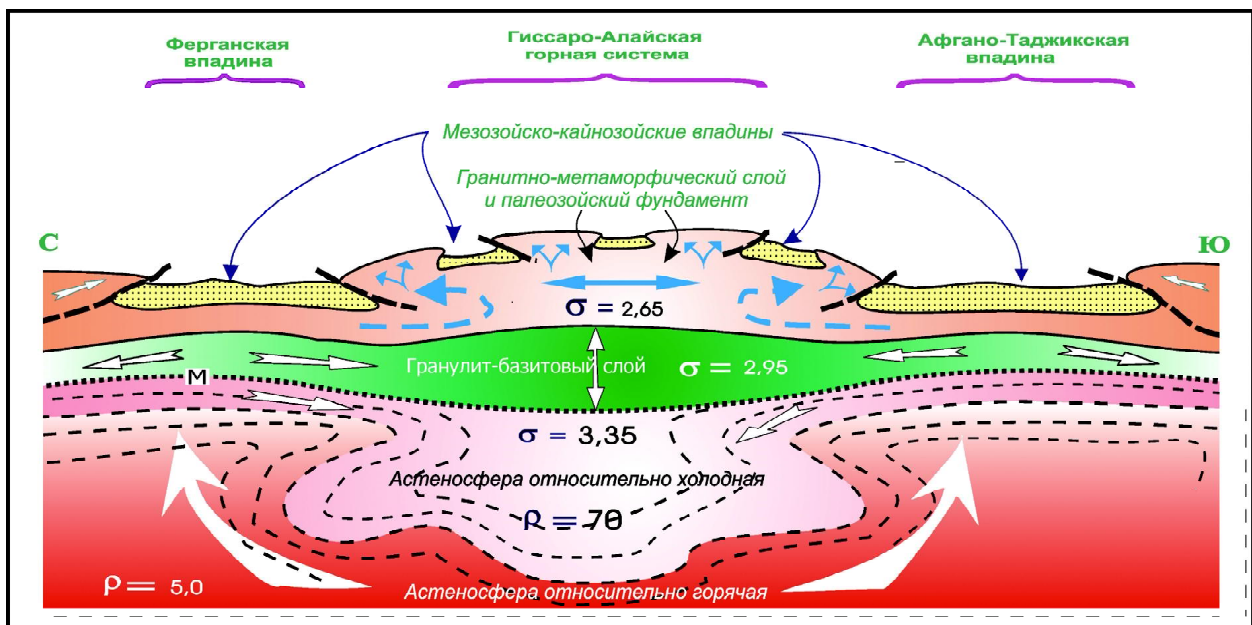
I-III – структурно-формационные зоны; I – Зеравшано-Гуркестанская, II – Зеравшанская, III – Зеравшано-Гиссарская.

1 – четвертичные отложения; 2 – четвертичные тектоно-гравитационные микститы; 3 – олигоцен – неоген: конгломераты, песчаники, глины; 4 – верхний мел – палеоген: мергели, глины, песчаники, гипсы (вертикальная штриховка – маркирующие горизонты известняков и олистоплаками известняков); 5 – верхний мел: конгломераты, песчаники, глины; 6 – лейас: конгломераты, песчаники; 7 – верхнепалеозойский флиш с глыбами и олистоплаками известняков С<sub>1-2</sub>; 8 – средний (нижний ?) карбон: известняки, кремни; 9 – средний девон – нижний карбон: кремни, терригенные отложения неметаморфизованные; 10 – средний девон – нижний карбон: кремни, терригенные отложения, в фации зеленых сланцев; 11 – верхний лудлов: известняки; 12 – нижний лудлов: известняки, доломиты; 13, 14 – лландовери–венлок: 13 – преимущественно известняки, 14 – преимущественно терригенные породы, зеленые сланцы; 15 – нижний силур: песчано-сланцевые толщи Зеравшано-Гуркестанской зоны; 16 – олистолит, сложенный породами кштут-урметанского типа разрезов; 17 – граница трансрессивного залегания мезозоя–кайнозоя на палеозойском фундаменте (поверхность домезозойского пенеплена; 18 – стратиграфические границы; 19 – разломы; 20 – границы структурно-формационных зон; 21 – элементы залегания



**Рис. V.2.8.** Профиль через Фан-Ягнобскую впадину (в бассейне р. Пасруд-Дарья)

1 – метаморфические зеленые сланцы (ордовик – нижний силур; 2 – известняки и мраморы (верхний силур – нижний девон; 3 – песчаники, конгломераты, глины, угли (юра); 4 – красноцветные конгломераты, песчаники, алевролиты, глины (нижний мел); 5 – зоны милонитов по зеленым сланцам; 6 – поверхность домезозойского пенеэпена, запечатанная отложениями мезозоя; 7 – структурные линии; 8 – разрывы



**Рис. V.2.9.** Схема современной геодинамики Гиссаро-Алайской горной системы  
Объяснения в тексте